

홀로그래픽 푸리에 변환 렌즈의 위상 최적화

방법에 관한 연구

이성덕, 김은수, 양인승

광운대학교 전자공학과

A Study on the Phase Optimization Method

of the Holographic Fourier Transform Lens

Seong-Deok Lee, Eun Soo Kim, In-Bung Young

Department of Electronics, Kwang-Woon University

국문 요약

본 논문에서는 홀로그래픽 푸리에 변환 렌즈에서 수차의 원인이 되는 죽을의 크기를 줄이기 위하여 두개의 구면파를 합성하는 방법을 도입하여 물체파로서 사용하여 렌즈를 구성하였다. 그리고 최소 차승법을 이용한 시뮬레이션을 통하여 위상함수를 최적화 시켰을 때 변환 평면에서 출력파의 수차 발생률을 비교 고찰하였다.

I. 서론

홀로그래픽 광학 소자가 렌즈로서 작용하는 홀로그래픽 푸리에 변환 렌즈(holographic Fourier transform lens)에 대한 관심은 Close[1] 이후 고조 되었으며 특히 수차 발생의 원인이 되는 렌즈의 위상 함수에 대한 연구는 활발해졌다. 홀로그래픽 Fourier변환 렌즈에서 수차는 위상 함수에 기록된 기준파 성분과 재생할 때의 입력파 성분이 동일하지 않기 때문에 변환 평면에서 발생하며 수차는 기준파와 입력파 사이의 이탈 각도가 커질수록 증가 한다. 수차를 줄이는 최적화된 위상 함수에 대한 연구는 수치적[2,3], 해석적[4] 또는 두 방법을 혼합한 방법[5]을 통하여 진행되고 있다.

본 논문에서는 재생할 때 발생하는 수차를 줄이기 위하여 홀로그래픽 Fourier 변환 렌즈의 기록 과정에서 두개의 구면파를 합성하는 방법을 사용하였으며, 최소 차승법을 이용한 광선주적 반복법을 이용하여 위상 함수를 최적화 하였다. 그리고 변환 평면에서 출력파의 수차를 고찰하기 위하여 빔 진동 모형을 나타내었다.

II. 본론

II-1 홀로그래픽 푸리에 변환 렌즈

홀로그래픽 F.T 렌즈는 입사하는 평면파 ϕ_c 를 구면파 ϕ_i 로 바꾸어주는 데 두면 변환 장치로 생각할 수 있다.

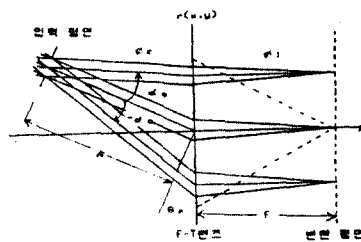


그림 1) 홀로그래픽 푸리에 변환 렌즈의 재생 구조도

여기서 F는 렌즈의 초점거리, $r(x,y)$ 는 렌즈 평면상의 좌표, Θx 는 재생파의 이축각, αo 는 입력 평면에서 렌즈의 전체 영역을 조사할 수 있는 최대각이다.

한 구면파를 물체파로 사용하여 홀로그래픽 F.T 렌즈를 구성하면 출력파 위상 ϕ_i 는 다음과 같다.(K: 전파 상수)

$$\phi_i(x,y) = K [x \sin(\Theta x - \alpha in) + ((x^2 + y^2 + F^2)^{\frac{1}{2}} - x \sin \Theta x)] \quad (1)$$

여기서 αin 은 $-\alpha o$ 와 αo 사이의 임의의 일사각도이다. 재생빔 ϕ_c 의 일사각도 변화에 따른 출력 위상 ϕ_i 의 변화를 보기 위하여, $x = R_0 \sin \beta$, $y = R_0 \cos \alpha \cos \beta$ 로 놓으면, 출력파의 위상 ϕ_i 에 대한 전파 방향($Dx1, Dy1$)과 죽을 ($Cx1, Cy1$)을 분석할 수 있다.

$$Dx1 = \sin(\Theta x - \alpha in) + \sin \beta - \sin \Theta x \quad (2)$$

$$Dy1 = \sin \alpha \cos \beta \quad (3)$$

$$Cx1 = \cos^2 \beta / R_0 \quad (4)$$

$$Cy1 = -\sin \alpha \sin \beta \cos \beta / R_0 \quad (5)$$

$$Cy1 = (\sin^2 \alpha \sin^2 \beta + \cos^2 \alpha) / R_0 \quad (6)$$

여기서 $R_0 = (x^2 + y^2 + F^2)^{\frac{1}{2}}$ 이다.

임사 재생빔은 출력파의 전파 방향은 변화시키지만, 죽을 성분은 물체파의 죽을로서 결정된다. 따라서 수차의 원인이 되는 구면파의 죽을 성분은 수차를 줄이는 방향으로 최적화되어야 한다.

로서 기준파를 사용한다.

$$\phi r(x,y) = K (x \sin \theta x + \phi_p(x,y)) \quad (20)$$

$$\begin{aligned} \phi_p(x,y) &= C_1 x^2 + C_2 x^4 + C_3 x^6 + C_4 x^8 + C_5 y^2 + C_6 y^4 \\ &+ C_7 y^6 + C_8 y^8 + C_9 x^4 y^2 + C_{10} x y \end{aligned} \quad (21)$$

변환 평면에서 접속된 빔 반경이 최소가 되도록 C_1, \dots, C_{10} 을 결정하기 위해 오차 함수 $H(C_1 \dots C_{10})$ 를 사용한다.

$$H(C_1 \dots C_{10}) = \frac{1}{N} \sum_{n=1}^N \sum_{m=1}^M [(X_{nm} - \langle X_n \rangle)^2 + (Y_{nm} - \langle Y_n \rangle)^2] \quad (22)$$

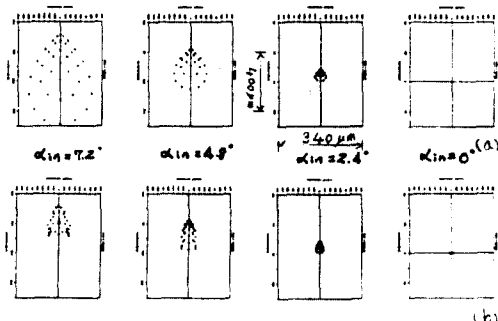
여기서 N 은 재생 빔의 일자 각도 수이고 M 은 한 빔에 서의 광선 수이다. X_{nm} 과 Y_{nm} 은 각각의 변환 평면상에서 좌표값이고, $\langle X_n \rangle$ 과 $\langle Y_n \rangle$ 은 한 접속된 빔의 평균된 좌표이다. 광선 추적이 수행될 때 변환 평면상에 맷되는 점들은 다음에 의해 주어진다.

$$X_{nm} = x + F \frac{\text{li}(x,y)}{\text{ni}(x,y)} + \sum_{k=1}^{10} C_k A_{nk} \quad (23)$$

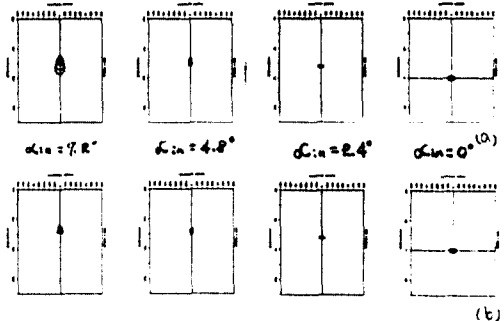
$$Y_{nm} = y + F \frac{\text{mi}(x,y)}{\text{ni}(x,y)} + \sum_{k=1}^{10} C_k B_{nk} \quad (24)$$

여기서 A_{nk} 와 B_{nk} 는 각각 $\phi_p(x,y)$ 항에 대한 $\text{li}(x,y)/\text{ni}(x,y)$ 와 $\text{mi}(x,y)/\text{ni}(x,y)$ 값이다. C_1, \dots, C_{10} 값은 오차 함수를 $C(1 \dots 10)$ 에 대해 편미분 한 값을 영으로 놓고 풀면 10개의 연립방정식을 통하여 구할 수 있다. 이 작업을 반복하면 최적화된 위상 ϕ 를 구할 수 있다.

본 논문에서는 $N = 7$, $\alpha_0 = 7.2^\circ$, $M = 37$ 이며, 입력 평면의 길이는 25mm이고 $F = 250(\text{mm})$, $R_o = R_r = 500(\text{mm})$ 이다. 이 즉 각 θx 은 20° 이다. 식(1)과 (11)의 출력 위치를 최적화 방법에 적용시켜 시뮬레이션하였을 때, 변환 평면에서 나타나는 빔 접속 모양은 그림(6)과 (7)에 나타내었다.



그림(6) 최적화 전(a)과 전 후(b)의 기준의 흡광도
Fig.6 Spot diagrams for conventional HPTL before(a) and after(b) optimization



그림(7) 최적화 전(a)과 전 후(b)의 합성된 흡광도
Fig.7 Spot diagrams for combined HPTL before(a) and after(b) optimization

III. 결 론

본 논문에서는 층점거리의 증가없이 광을 성분을 줄이기 위하여 두개의 구면파를 합성하는 방법을 사용하였으며, 그 결과 수자는 크게 개선되었다. 그러나 두 구면파의 합성으로 인한 층점력의 증가를 가져와서 변환 평면상의 중심 빔 도형의 크기가 약간 증가되었으나 우려할 정도는 아니다. 이 방법을 시뮬레이션을 통해 최적화 방법에 적용하였을 때 위상 함수는 더욱 개선되었음을 알 수 있다.

참고 문헌

1. D.H.Close, "Holographic Optical Elements", Opt. Eng., Vol.14, No.5, pp.408-419 (1975)
2. Y.Ono and N.Nishida, "Holographic optical elements with optimized phase-transfer functions", J.Opt. Soc.Am., Vol.3, No.1, pp.139-142 (1986)
3. R.C.Fairchild and J.R.Fienup, "Computer-originated aspheric holographic optical elements", Opt. Eng., Vol.21, No.1, pp.133-140 (1982)
4. K.A.Winick and J.R.Fienup, "Optimum holographic elements recorded with nonspherical wave fronts", J.Opt.Soc.Am., Vol.73, No.2, pp.208-217 (1983)
5. J.Kedmi and A.A.Friesem, "Optimal holographic Fourier-transform lens", Appl.Opt., Vol.23, No.22, pp.4015-4019 (1984)
6. H.P.Herzig and R.Vandikker, "Holographic optical scanning elements: analytical method for determining the phase function", J.Opt.Soc.Am., Vol.4, No.6, pp.1063-1070 (1987)